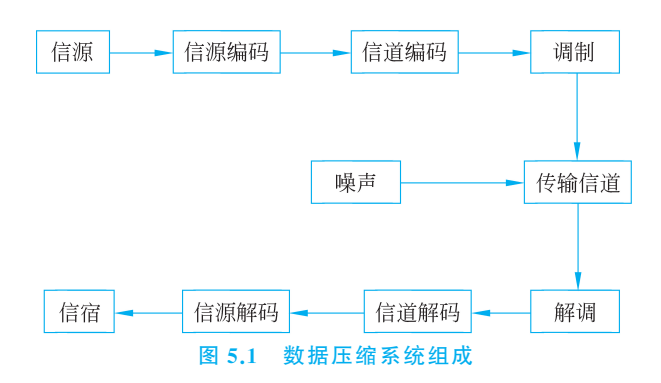
图像压缩编码

图像在现代社会中扮演着重要的角色,它们用于电视、电影、广告等多个领域,然而由于图像数据量庞大,传输和存储成本较高。为了解决这个问题,图像压缩技术应运而生。

5.1 数字图像压缩基本概念

数据压缩是以较少的数据量表示信源。数据压缩的目的在于节省存储空间、传输时间、信号频带或发送能量等,数据压缩系统组成如图 5.1 所示。



图像是信源的一种形式,且大部分图像存在冗余信息,为了减少图像占用存储空间的容量,降低传输带宽,提高传输速率,有必要对图像进行压缩编码研究。

图像之所以能压缩,是因为一般图像中存在着以下数据冗余因素。

- (1)编码冗余。一般情况下,灰度图像每像素占用 8 位二进制,彩色图像每像素占用 24 位二进制,都为等长编码,等长编码就会存在冗余,因此,可以 利用非等长编码对图像进行压缩。
- (2)图像中各像素之间、行和帧之间存在着较强的相关性形成的冗余。图 5.2 中,比如房顶、塔或者草地内部各相邻像素间颜色很相似,因此它们之间存在相关性,有冗余信息。
- 图 5.3 是视频中相邻的两帧图像,如果汽车速度和方向已知,则可以通过前一帧图像推出后面一帧图像,因此相邻帧间存在相关性,即存在冗余信息。
- (3) 视觉特性引起的冗余。由于人眼的视觉特性所限,人眼不能完全感受到图像画面的所有细小的变化。人类视觉系统一



图 5.2 图像中各像素间相关性示例

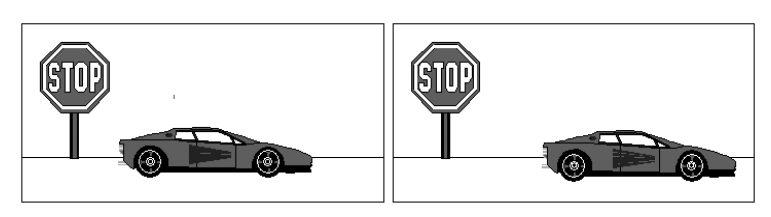


图 5.3 视频中帧间相关性示例

般分辨率大约是 2⁶ 灰度等级,而图像的量化一般是 2⁸ 灰度等级,这样就会产生视觉冗余。

图像压缩后,虽然丢了一些信息,但从人眼的视觉上并未感受到其中的变化,而仍认为图像具有良好的质量。

图像压缩是通过减少图像数据量来减小图像文件的大小。常用的压缩方法包括无损 压缩和有损压缩。

无损压缩方法通过消除图像中的冗余信息来实现文件大小的减小,同时保持图像质量不变。无损压缩是指压缩后的数据可以完全还原为原始图像数据,不会引入任何失真或变化。常见的无损压缩算法有行程编码、Huffman编码、Shannon编码、算术编码、轮廓编码等,这些算法通常针对图像中的冗余数据进行编码。

有损压缩方法则在一定程度上牺牲图像质量,以达到更高的压缩比。有损压缩则是在保证一定程度的视觉质量下,通过舍弃或近似原始图像数据来减小存储或传输的数据量。常见的有损压缩算法有 JPEG、JPEG2000、预测编码、变换编码、混合编码等。 JPEG、JPEG2000 算法通过离散余弦变换(DCT)、小波变换或颜色量化等方法,将图像数据转换为频域或颜色空间的系数,并通过量化、编码和压缩等步骤来减小数据量。

图像压缩中,常用的图像压缩技术指标有熵、平均码长、编码效率、压缩比等。

5.1.1 熵

熵代表信源所含的平均信息量。

若信源编码的熵大于信源的实际熵,则信源中的数据一定存在冗余度,冗余数据的去除不会减少信息量。信息量与数据量的关系如式(5.1)所示。

$$I = D - a \tag{5.1}$$

式中,I、D、a分别表示信息量、数据量和冗余量。

设数字图像像素灰度级集合为 $(w_1, w_2, \cdots, w_k, \cdots, w_M)$,其对应的概率分别为 $(p_1, p_2, \cdots, p_k, \cdots, p_M)$,则数字图像的熵 H 如式(5.2)所示。

$$H = -\sum_{k=1}^{M} p_k \log_2 p_k \tag{5.2}$$

5.1.2 平均码长

设 β_k 为数字图像第k 个码字 C_k 的长度(二进制码的位数),其相应出现的概率为 p_k ,则这幅图像的平均码长R 如式(5.3)所示。

$$R = \sum_{k=1}^{M} \beta_k p_k \tag{5.3}$$

例 5.1 已知 $C_0 = 00$, $C_1 = 01$, $C_2 = 1$, $C_3 = 101$, $p_0 = 0.25$, $p_1 = 0.25$, $p_2 = 0.3$, $p_3 = 0.2$, 其平均码长是多少?

【解】

$$R = \sum_{k=0}^{3} C_k p_k = 2 \times 0.25 + 2 \times 0.25 + 1 \times 0.3 + 3 \times 0.2 = 1.9$$

因此平均码长为1.9。

5.1.3 编码效率

编码效率如式(5.4)所示。

$$\eta = \frac{H}{R}(\%) \tag{5.4}$$

式中,H 为信源熵,R 为平均码字长度。

5.1.4 压缩比

为了表达对图像压缩的程度,引入压缩比概念,如式(5.5)所示。

$$C = \frac{b_1}{b_2} \tag{5.5}$$

式中,6,表示压缩前图像每像素的平均比特数,6。表示压缩后图像每像素的平均比特数。

5.1.5 统计编码

统计编码根据信源的概率分布特性,分配具有唯一可译性的可变长码字,降低平均码长,以提高信息的传输速率,节省存储空间。

统计编码的基本原理是在信号概率分布情况已知的基础上,概率大的信号对应的码字短,概率小的信号对应的码字长,这样就降低了平均码长。统计编码遵循变长最佳编码定理,则可获得最佳编码。

变长最佳编码定理:在变长编码中,对出现概率大的信息符号赋予短码字,而对于出现概率小的信息符号赋予长码字。如果码字长度严格按照所对应符号出现概率大小逆序排列,则编码结果平均码长一定小于任何其他排列方式。

下面主要讲解 Huffman 编码、Shannon 编码和算术编码方法。

5.2 Huffman 压缩编码

Huffman 编码是根据可变长度最佳编码定理,应用 Huffman 算法而产生的一种编码方法。它的平均码长在具有相同输入概率集合的前提下,比其他任何一种唯一可译码都小,因此,也常称其为紧凑码。

Huffman 编码步骤如下。

- (1) 先将输入灰度级按出现的概率由大到小顺序排列(对概率相同的灰度级可以任意颠倒排列位置)。
 - (2) 将最小两个概率相加,形成一个新的概率集合。

再按第(1)步方法重排(此时概率集合中概率个数已减少一个)。如此重复进行直到 只有两个概率为止。

(3)分配码字。码字分配从最后一步开始反向进行,对最后两个概率一个赋予"0"码,一个赋予"1"码。如概率 0.6 赋予"0"码,0.4 赋予"1"码(也可以将 0.6 赋予"1"码,0.4 赋予"0"码),如此反向进行到开始的概率排列。

在此过程中,若概率不变,仍用原码字。

例 5.2 设一幅灰度级为 8(分别用 W_1 、 W_2 、 W_3 、 W_4 、 W_5 、 W_6 、 W_7 、 W_8 表示)的图像中,各灰度级所对应的概率分别为 0.40、0.18、0.10、0.10、0.07、0.06、0.05、0.04。现对其进行 Huffman 编码,并计算编码效率。

【解】 根据上述编码步骤,对该例题进行压缩编码,编码过程如下:

上述编码过程中,第六步中概率 0.4 到第五步中仍用"1"码。

若概率分裂为两个,其码字前几位码元仍用原来的。码字的最后一位码元一个赋予"0"码元,另一个赋予"1"码元。如第六步中概率 0.6 到第五步中裂为 0.37 和 0.23,则所得码字分别为"00"和"01"。

信源熵:

$$H = -\sum_{i=1}^{8} P_i \log_2 P_i$$

$$= -\begin{pmatrix} 0.4 \log_2 0.4 + 0.18 \log_2 0.18 + 2 \times 0.1 \log_2 0.1 \\ + 0.07 \log_2 0.07 + 0.06 \log_2 0.06 + 0.05 \log_2 0.05 \\ + 0.04 \log_2 0.04 \end{pmatrix}$$

$$= 2.55$$

平均码长:

$$R = \sum_{i=1}^{8} \beta_i P_i$$
= 0.40 × 1 + 0.18 × 3 + 0.10 × 3 + 0.10 × 4 + 0.07 × 4 + 0.06 × 4 + 0.05 × 5 + 0.04 × 5
= 2.61

编码效率:

$$\eta = \frac{H}{R} = \frac{2.55}{2.61} = 97.8\%$$

由此可见, Huffman 编码的编码效率是相当高的,其冗余度只有 2.2%。

如果采用等长编码,由于有8个灰度级,则每个灰度级至少需要3比特来表示,对于例5.2中的图像而言,其编码的平均码长为3,编码效率为85%。

对不同概率分布的信源, Huffman 编码的编码效率有所差别。

根据信息论中信源编码理论,对于二进制编码,当信源概率为2的负幂次方时, Huffman编码的编码效率可达100%,其平均码长也很短;而当信源概率为均匀分布时, 其编码效果明显降低。Huffman编码在不同概率分布下编码效果对比如表5.1所示。

信源符号	概率分布为 2 的负幂次方			概率分布为均匀分布		
	出现概率	Huffman 编码	平均码长	出现概率	Huffman 编码	平均码长
S0	2^{-1}	1	1	0.125	111	3
S1	2^{-2}	01	2	0.125	110	3
S2	2^{-3}	001	3	0.125	101	3
S3	2-4	0001	4	0.125	100	3
S4	2^{-5}	00001	5	0.125	011	3
S5	2^{-6}	000001	6	0.125	010	3
S6	2^{-7}	0000001	7	0.125	001	3
S7	2^{-1}	0000001	7	0.125	000	3
编码效率	H = 1.984375	R = 1.984375	$\eta = 100\%$	H=3	R=3	$\eta = 100\%$

表 5.1 Huffman 编码在不同概率分布下编码效果对比

在表 5.1 中,显然,第二种情况的概率分布也服从 2 的负幂次方,故其编码效率 η 也可以达到 100%,但由于它服从均匀分布,其熵最大,平均码长很大,因此从其他指标(如压缩比 r)看,其编码效果欠佳。也就是说,在信源概率接近均匀分布时,一般不使用Huffman编码。

通过上述分析, Huffman 编码性能如下。

- (1) 实现 Huffman 编码的基础是统计信源数据中各信号的概率分布。
- (2) Huffman 编码在无失真的编码方法中效率优于其他编码方法,是一种最佳变长码,其平均码长接近熵值。

- (3) 当信源数据成分复杂时,庞大的信源集致使 Huffman 码表较大,码表生成的计算量增加,编译码速度相应变慢。
- (4) 不等长编码致使硬件译码电路实现困难,上述原因致使 Huffman 编码的实际应用受到限制。

5.3 Shannon 压缩编码

Shannon 提出了将信源符号依其概率降序排列,用符号序列累积概率的二进制表示作为对信源的唯一可译编码,即 Shannon 编码。

Shannon 编码应用于图像编码的步骤如下。

- (1) 将输入灰度级按其出现的概率从大到小排列。
- (2) 按照式(5.6)计算出各概率对应的码字长度 ti.

$$-\log_2 p_i \leqslant t_i < -\log_2 p_i + 1 \tag{5.6}$$

(3) 计算各概率对应的累加概率 a_i ,如式(5.7)所示。

$$\begin{cases}
a_{1} = 0 \\
a_{2} = p_{1} \\
a_{3} = p_{2} + a_{2} = p_{2} + p_{1} \\
a_{4} = p_{3} + a_{3} = p_{3} + p_{2} + p_{1} \\
\vdots \\
a_{i} = p_{i-1} + p_{i-2} + \dots + p_{1}
\end{cases} (5.7)$$

(4) 把各个累加概率由十进制数转换成二进制数,转换位数即步骤(2)中 t;。

例 5.3 图像概率分布同例 5.2,对其进行 Shannon 编码。

【解】

	(1)	(2)	(3)	(4)
输入图像 灰度级	灰度级出 现概率	计算 t_i	计算 a_i	码字
$W_{_1}$	0.40	2	0	00
W_{2}	0.18	3	0.40	011
W_3	0.10	4	0.58	1001
W_4	0.10	4	0.68	1010
W_{5}	0.07	4	0.78	1100
W_6	0.06	5	0.85	11011
W_{7}	0.05	5	0.91	11101
W_{s}	0.04	5	0.96	11110

5.4 算术编码

在信源各符号概率接近的条件下,算术编码是一种优于 Huffman 编码的方法。有关实验数据表明,即使在未知信源概率分布的情况下,算术编码一般也优于 Huffman 编码。

算术编码基本思想如下。

- (1) 将要压缩的数据 **X** 映射到[0,1)实数区间中的某一区段上的实数,该实数的二进制展开式即为原符号串的压缩编码结果。
 - (2) 算术编码通过对当前的概率区间进行迭代分割来确定实数。
 - (3) 算术编码是根据信源符号选区间,即在[0,1]区间里确定一个最后的小区间。
- (4) 算术编码是一种从整个符号序列出发,采用递推形式连续编码的方法。它将一个符号序列映射为一个实数。算术编码中,单个源符号和码字间的一一对应关系并不存在。
- (5) 算术编码是具体构造出的用小数表示信息的方法,因为小数随位数的增加,它的精度也随之提高,从信息的角度来说,它所含有的信息量也随之增加。
- (6) 随着符号序列中的符号数量增加,用来代表它的区间减小而用来表达区间所需的信息单位(如比特)的数量变大。

下面结合一个实例来阐述算术编码方法。

例 5.4 已知信源
$$\mathbf{X} = \begin{bmatrix} 0 & 1 \\ 1/4 & 3/4 \end{bmatrix}$$
,试对 1011 进行算术编码。

【解】

(1) 二进制信源符号只有两个,即"0"和"1"。

设置小概率: $Q_c = 1/4$ 。

大概率: $P_c = 1 - Q_c = 3/4$ 。

(2) 设 B 为子区的左端起始位置,L 为子区的长度(等效于符号概率)。符号"0"的子区为[0,1/4];左端 B=0,长 L=1/4。

符号"1"的子区为 $\lceil 1/4,1 \rceil$;左端 B=1/4,长 L=3/4。

(3) 在编码运算过程中,随着消息符号的出现,子区按下列规则缩小。

规则 A: 新子区左端=前子区左端+当前符号子区左端×前子区长度。

规则 B: 新子区长度=前子区长度×当前符号子区的长度。

(4) 初始子区为[0,1],即 $0 \le x \le 1$,编码算法如下。

步序	符号	子区左端	子区长度
(a)	1	0+ 1 / 4×1 =1/4	$1 \times 3 / 4 = 3/4$
(b)	0	1/4+0×3/4 = 1/4	$3/4 \times 1/4 = 3/16$
(c)	1	1/4+1/4×3/16	3/16 imes 3/4
		= 19/64	= 9/64
(d)	1	19/64+1/4×9/64	9/64 imes 3/4
		= 85/256	= 27/256

最后的子区左端(起始位置):

$$B = (85/256) d = (0.01010101) b$$

最后的子区长度:

$$L = (27/256) d = (0.00011011) b$$

最后的子区右端(子区间尾):

85/256 + 27/256 = (7/16)d = (0.0111)b

编码结果:在子区头尾之间取值,其值为 0.011,可编码为 011,原来 4 个符号 1011 被压缩为三个符号 011。

考虑到算术编码中任何数据序列的编码都含有"0.",所以在编码时,可以不考虑"0."。

例 5.5 设输入两种符号 A 和 B,它们出现的概率分别是 3/4 和 1/4,需要编码的信息为 AABA,试对其进行算术编码。

【解】

算术编码过程如下。

从[0,1)开始,符号依次迭代分解区间。

- (1) 第一个字符 A,取[0,1)区间的前 3/4,即区间[0,3/4)。
- (2) 第二个字符 A,取[0,3/4)区间的前 3/4,即区间[0,9/16)。
- (3) 第三个字符 B,取[0,9/16)区间的后 1/4,即区间[27/64,9/16)。
- (4) 第四个字符 A,取[27/64,9/16)区间的前 3/4,即区间[27/64,135/256),其二进制表示为[0.011011,0.10000111)。
- (5) 所余区间中位数最少的小数就是所要的编码输出,在上述最后区间的二进制表示中,最少位数的小数是 0.1,所以 AABA 的编码输出仅需 1 比特编码。

思考题:

设一待编码的数据序列(即信源)为"dacab",信源中各符号出现的概率依次为 P(a) = 0.4, P(b) = 0.2, P(c) = 0.2, P(d) = 0.2。请思考利用上述哪种算术编码方法更好。

5.5 预测编码与变换编码

1. 预测编码

预测编码的基本思想:在某种模型的指导下,根据过去的样本序列推测当前的信号样本值,然后用实际值与预测值之间的误差值进行编码。

如果模型与实际情况符合得比较好且信号序列的相关性较强,则误差信号的幅度将 远远小于样本信号。

2. 变换编码

通过数学变换可以改变信号能量的分布,从而压缩信息量。比如,第3章中的傅里叶变换、离散沃尔什变换、离散哈达玛变换等。

图像压缩技术在多个领域都有着广泛的应用,包括图像传输、存储和展示等,然而当前的图像压缩方法仍然存在一些问题,比如压缩质量和压缩速度之间的平衡,以及特定类型图像的压缩效果等。未来的研究方向包括深度学习在图像压缩中的应用、更高效的压缩算法以及对不同类型图像进行自适应压缩等。

习 题 五

- 1. 阐述数据压缩的必要性。
- 2. 大部分视频压缩方法是有损压缩还是无损压缩? 为什么?
- 3. Huffman 编码有何优缺点?
- 4. Huffman 编码是最佳编码,为什么还要研究算术编码等其他熵编码方法?
- 5. 设某幅图像共有8个灰度级,各灰度级出现概率分别为:

$$P_1 = 0.50$$
 $P_2 = 0.01$ $P_3 = 0.03$ $P_4 = 0.05$ $P_5 = 0.05$ $P_6 = 0.07$ $P_7 = 0.19$ $P_8 = 0.10$

试对此图像进行 Huffman 编码和 Shannon 编码,并计算比较两种编码方法的效率。6.设有一幅图像,其尺寸为8×8,其灰度级分布如下:

试对该图像进行 Huffman 编码,并计算编码效率。

7. 已知信源
$$\mathbf{X} = \begin{bmatrix} 0 & 1 \\ 1/4 & 3/4 \end{bmatrix}$$
, 试对 1001 和 10111 进行算术编码。

图像分割

在图像的研究和应用中,人们往往仅对图像中的某些部分感兴趣,这些部分一般称为目标或前景;为了辨识和分析目标,需要将有关区域分离提取出来,在此基础上对目标区域进行进一步分析和处理,如进行特征提取和测量;图像分割是指把图像分成各具特性的区域,并提取出感兴趣目标的技术过程。

图像分割工程应用案例:回收不同颜色塑料瓶,对塑料瓶图像的分割。该图像分割实例是基于绿色可持续发展理念,旨在实现能源的有效回收和利用,契合国家大力倡导的可持续发展和能源有效利用的社会背景。

6.1 图像分割概述

图像分割算法基于颜色值的相似性或不连续性。根据制定的准则,将图像分割为相似的区域,如阈值处理、区域生长、区域分裂与合并等;不连续性是基于亮度的不连续变化分割图像,如图像的边缘等。

图像分割分类如图 6.1 所示。

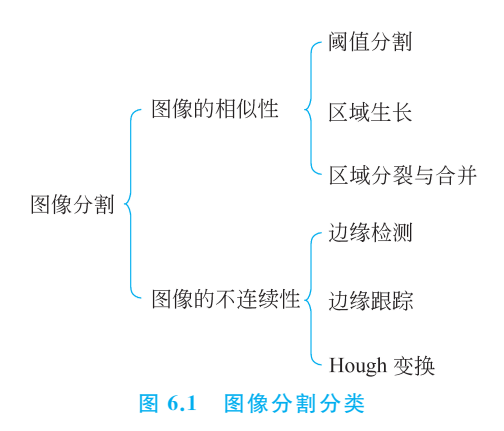


图 6.2 为一幅汽车场景图像,图像分割将汽车作为目标从背景图像中分割,为后续分析奠定基础。

图像分割结果中同一个子区域内的像素应当是连通的,同一个子区域内的任意两个像素在该子区域内应该是互相连通的。